

徳島大学工学部 正員 小田英一

1. まえがき：軟弱な地山中にトンネル工事を行ふ場合、トンネル覆工に強大なる土圧が作用したり、膨張性地圧がかかることがある。この場合コンクリートブロックの可縮性空積覆工構造として、ブロックとブロックとの間にじみを良くするため、緩衝材として松板材を挿入する工法があつた。また鋼製支保工で土圧を支持しても、材料の可撓性の故にある程度変位を生む。このような覆工または支保工が可縮性のときは土圧の緩和現象があることを経験されている。この問題の基礎的研究として、模型実験により土圧と覆工変位関係を研究した。

2. 模型実験の概要：トンネルの模型実験に用いた模型箱は $60 \times 10 \times 70 \text{ cm}^3$ の鋼製のもので、 $60 \times 70 \text{ cm}^2$ の前面には硬化ガラス玉はめている。後面の鋼板中央に直径 12 cm の円孔があり、土材料玉箱につめるとさは蓋をする構造となつていて。また蓋取付け用ねじより土圧計のリード線を取り出すようにしている。地山としての土試料を水で飽和させ模型箱に一定条件でつめ、段階荷重玉かけ、最終荷重 $p_0 = 0.843 \text{ kg/cm}^2$ で土圧密し、載荷には7日間玉をして地山材料上作つた。 $60 \times 70 \text{ cm}^2$ の面の中央に直径 16 cm の円孔玉地山材料にあり、これに写真-1に示す可縮性覆工模型を挿入した。この模型箱の $10 \times 60 \text{ cm}^2$ 上面にトンネル土被り荷重として $p = 0.545 \text{ kg/cm}^2$ 玉かけた。

覆工の半径方向土圧測定には共和電業社製BE-2KCの小型土圧変換器(直径 3 cm)を用いた。実験としては土被り荷重による可縮性覆工の半径方向の変位 u_r と半径方向土圧 σ_{rr} の測定を行つたのである。実験における圧密してえられた地山用の土試料はつまのような性質である。 $L.L. = 40\%$, $P.L. = 28\%$, 粒度試験より砂 15% , シルト分 69% , 黏土分 16% で、シルト質ローム土である。単位重量は 1.85 g/cm^3 , 含水比は $40\sim43\%$ であつた。

この土の圧密非排水三軸圧縮試験結果より、モールクーロンの強度常数は $C = 0.1 \text{ kg/cm}^2$, $\phi = 28^\circ$, $C' = 0.04 \text{ kg/cm}^2$, $\phi' = 38^\circ$ であった。Brookerにより静止土圧係数 $K_0 = 0.95 - \sin \phi'$ を用いて、ボアソン数 $m = \frac{1}{K_0} + 1 = 4.03$ となる。

3. 模型実験結果：トンネル模型実験における載荷分布荷重 $p = 0.545 \text{ kg/cm}^2$ の応力レベルでは、地山材料の弹性係数 E はDuncan, Changの双曲線应力ヒズミ関係と応力に依存した材料の弹性正則化してえられ式より求めると、 $E = 6.6 \text{ kg/cm}^2$ となる。この載荷重のとき、写真-1に示す可縮性覆工模型の縫手部の溝に可縮性をもつた発泡スチロールを入れたときの覆工に作用する σ_{rr} が時間的に変化する様相、およびこの荷重条件のままで発泡スチロールを除去して、土圧に対する応答して覆工模型が大きく収縮しうる状態のときの σ_{rr} が時間的に変化する様相を図-1に示す。このときの u_r の時間的変化を図-2に示す。なお図-3には $p = 0.353 \text{ kg/cm}^2$ が載荷された直後の σ_{rr} の分布の実測値と、理論より求めた計算値²⁾とを示している。ただし θ は水平軸より時針方向の角度正として測った角度を表す。可縮性覆工模型の縫手部の発泡スチロールを除去して、覆工模型が大きく変形したときの u_r と σ_{rr} の關係と時間軸をペラメータとして表わしたもののが図-4であつて、覆工の可縮性が甚だしいときは σ_{rr} の著しい土圧の緩和現象が起つてゐることがわかる。

4. 考察：図-3のトンネル覆工土圧 σ_{rr} の分布をみて、計算値の σ_{rr} と実測値の σ_{rr} を比較して、 $\theta = 90^\circ$ と $\theta = -90^\circ$ の位置ではその値が近似していいるが、その他の位置では実測値の方が小となり、 $\theta = 0^\circ$, $\theta = 45^\circ$, $\theta = -45^\circ$ では実測値は計算値より相当小となつてゐる。これは模型箱の左右の大きさが有限である条件に入り、水平方向の土圧 σ_r あまり発生しなかつたためと考えられる。図-5には可縮性覆工模型の発泡スチロールを除去して、 u_r を大きく発生させた値と土圧の緩和量 $\Delta\sigma_{rr}$ の関係を示していゝが、 $\theta = 90^\circ$, 45° , -90° の位置と u_r と $\Delta\sigma_{rr}$ の間に線形関係があることがわかつた。 $\theta = -45^\circ$ では u_r の変化はないが、土圧緩和は生じてゐる。これは前述の模型箱の左右の有限の条件が影響したものと考えられる。

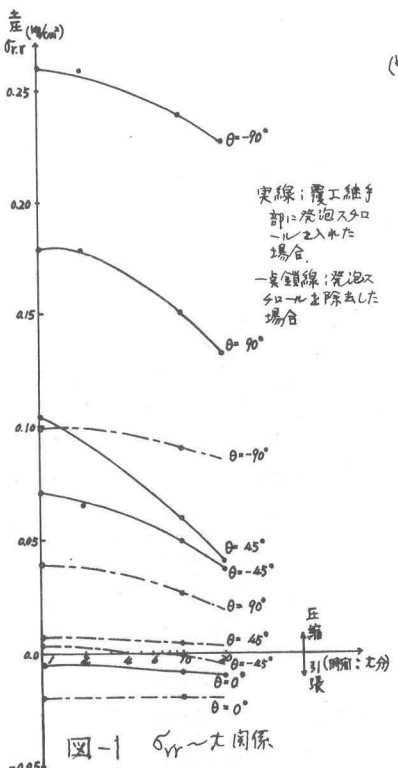


図-1 σ_{rr} - t 関係

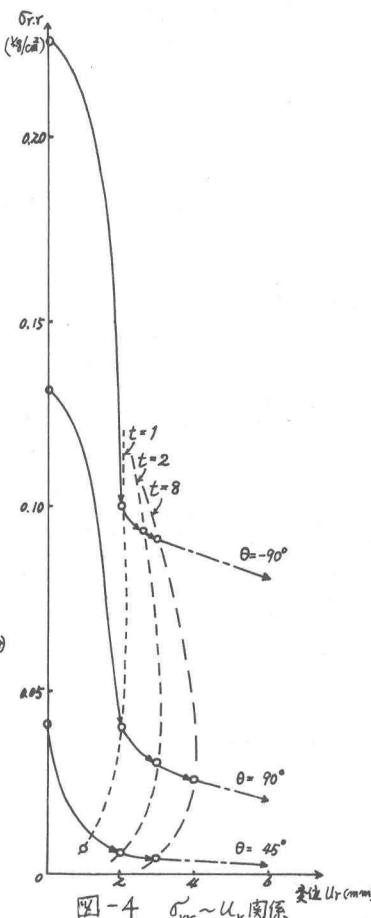


図-4 σ_{rr}' - U_r 関係

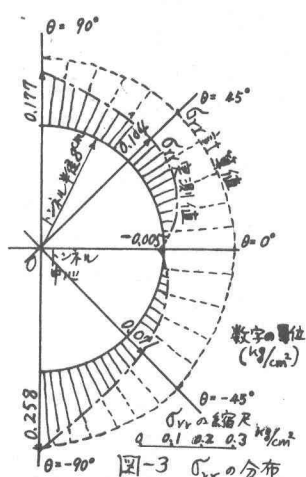


図-3 σ_{rr}' の分布

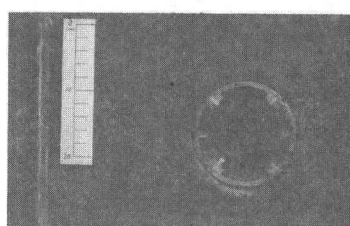


写真-1 可透水性覆工模型

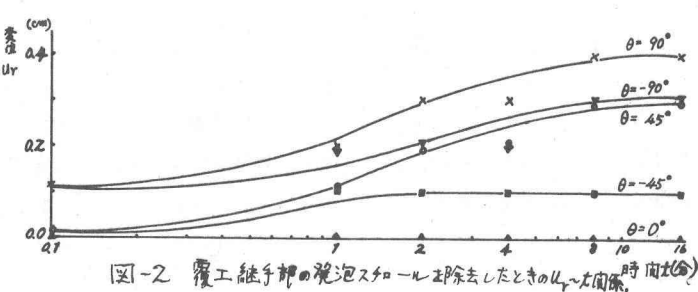


図-2 覆工縫手部の気泡スロールを除去したときの U_r - t 関係

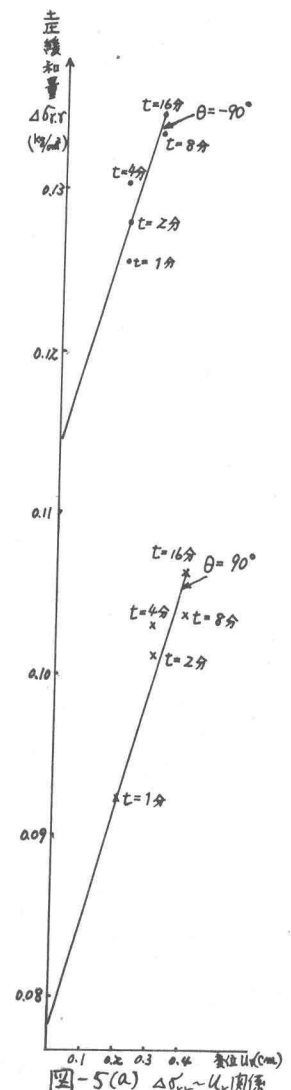


図-5(a) $\Delta\sigma_{rr}$ - U_r 関係

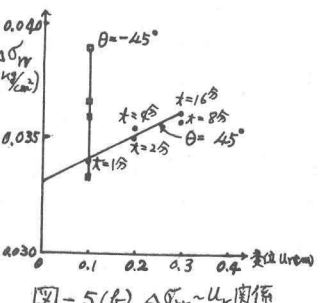


図-5(b) $\Delta\sigma_{rr}$ - U_r 関係

参考文献

- 1) Proc. of A.S.C.E., Vol. 96 No. S.M5, Sept. 1970, p. 1635
- 2) 小田英一、「軟弱地山中のトンネル土圧の時間的変化について」回復荷重講演会, 昭和36年11月